

## کمینه‌سازی تابع هدف چندمتغره با استفاده از الگوریتم ژنتیک بهبود یافته در کنترل فعال نوسان‌های سازه\*

علی بنائی<sup>(۱)</sup>جواد علامتیان<sup>(۲)</sup>

**چکیده** مقاله پیش‌رو فرایند نوینی در کنترل فعال سازه‌ها در برابر بار دینامیکی ناشی از زلزله، بر مبنای روش‌های جستجوی عددی هوشمند ارائه می‌دهد. در اینجا، با متصل کردن عملگر دینامیکی به درجه‌های آزادی سازه و استفاده از روش الگوریتم ژنتیک پیشنهادی برای یافتن نیروهای کنترلی مناسب در هر گام زمانی با توجه به وضعیت جابه‌جایی گره‌ها، تغییر مکان سازه کنترل و کمینه می‌شود. جابه‌جایی‌های گره‌های سازه در هر گام زمانی با حل معادله‌های تعادل دینامیکی به دست می‌آیند. با ارزیابی این جابه‌جایی‌ها و استفاده از تابع هزینه پیشنهادی، نیروهای عملگرها با فرایند تخمین-تصحیح الگوریتم ژنتیک تعیین می‌شوند. همچنین، به دلیل ماهیت تخمین-تصحیح روش الگوریتم ژنتیک، اثر تأخیر زمانی در کنترل نوسان‌های سازه در نظر گرفته می‌شود. برای نشان دادن کارایی روش پیشنهادی در کنترل نوسان‌های سازه، سه نمونه عددی به کار می‌رود و نتایج با روش سامانگر درجه‌دوی خطی (LQR) مقایسه می‌گردند. بر این اساس، روش پیشنهادی توانایی مناسبی برای کنترل نوسان‌های سازه دارد.

**واژه‌های کلیدی** الگوریتم ژنتیک، کنترل فعال سازه، روش LQR، تحلیل عددی.

### Minimizing Multivariate Objective Function Using Improved Genetic Algorithm in Active Control of Oscillation of Structures

A. Banaei

J. Alamatian

**Abstract** This paper aims to design a special active control system based on the proposed genetic algorithm for active control of structures. In this trend, by connecting the actuator to the structure's freedom degrees and using the proposed method to find the proper control forces, the structure's movement is controlled and minimized. The nodal displacements are calculated by solving the dynamic equations of motion at each time step. By evaluating these responses and utilizing the proposed cost function, the proper actuator's forces are determined during the prediction-correction process of the genetic algorithm. Moreover, due to the nature of the prediction-correction of the genetic algorithm method, the effect of time delay on the control scheme is mentioned. To illustrate the effectiveness of the proposed method for controlling the oscillations of the structure, three numerical examples are solved and the results are compared with the linear differential equation (LQR) method. Accordingly, the proposed method has a very good ability to control the oscillations of the structure.

**Key Words** Genetic Algorithm, Structures Active Control, LQR Method, Numerical Analysis.

\* تاریخ دریافت مقاله ۹۵/۱۰/۱۳ و تاریخ پذیرش آن ۹۷/۶/۲۴ می‌باشد.

(۱) دانشجوی دکتری عمران- سازه، دانشگاه آزاد اسلامی، مشهد.

(۲) نویسنده مسئول، دانشیار گروه عمران، دانشگاه آزاد اسلامی، مشهد.

## مقدمه

سازه هوشمند، سازه‌ای است که با دارا بودن امکان یادگیری و با مناسب‌سازی مشخصات فیزیکی و هندسی، خود را در برابر تحریک خارجی حفظ می‌نماید. با استفاده از شیوه کنترل فعال و متصل نمودن عملگرهایی در درجه‌های آزادی دینامیکی این سازه‌ها، نیروهایی برای کاهش جابه‌جایی درجه‌های آزادی که ناشی از تحریک خارجی است، تولید و به سازه اعمال می‌گردند [1]. نگره استفاده از شیوه‌های فعال برای کنترل نوسان‌های سازه، نخستین بار در سال ۱۹۷۲ مطرح گردید [2]. پس از آن، پژوهشگران این فرایند را توسعه دادند [3,4]. به‌کارگیری شیوه کنترل فعال، نیازمند بهره‌گیری هم‌زمان از ابزار کنترلی مناسب و هم‌چنین الگوریتمی هوشمند برای تعیین نیروهای عملگر در سازه می‌باشد.

شیوه‌های پایش داده‌های سازه و یافتن نیروهای مناسب عملگرها برای مقابله با اثر تحریک‌های جانبی در هر گام زمانی دارای اهمیت ویژه‌ای است. استفاده از روش‌های عددی در تحلیل دینامیکی سازه‌ها و بهینه‌سازی سامانه‌های کنترل فعال سازه از دو جهت مورد توجه فراوان قرار گرفته‌است. نخستین دلیل، عدم وابستگی این روش‌ها به محدودیت‌های گرادیان مشتق‌های بهینه‌سازی می‌باشد. از سوی دیگر، سرعت روش‌های عددی در مقایسه با شیوه‌های تحلیلی، به دلیل عدم نیاز به مدل‌سازی‌های پیچیده، بسیار بالاست [5]. روش‌های جستجوی هوشمند، مبتنی بر الگوهای تکامل طبیعی، نمونه‌ای از این شیوه‌های نوین می‌باشند. الگوریتم ژنتیک یکی از قدرتمندترین و مؤثرترین شیوه‌های جستجوی عددی است که در فرایندهای بهینه‌سازی به کار می‌رود.

پیشرفت‌های اولیه الگوریتم ژنتیک توسط جان هالند و همکارانش [6] در دانشگاه میشیگان ایالات

متحده در سال ۱۹۶۲ انجام پذیرفت. هم‌چنین، مفاهیم الگوریتم ژنتیک در سال ۱۹۸۹ توسط گلدبرگ [7] توسعه داده شد. در سال ۱۹۹۵، کیریستوفر هاک و همکارانش [8] الگوریتم ژنتیک را با استفاده از برنامه متلب پیاده کردند. هم‌چنین، صفی‌زاده و همکاران [9] پژوهش‌هایی برای یافتن محل مناسب حسگر در سامانه‌های فعال و غیرفعال، با استفاده هم‌زمان از شیوه بهینه‌سازی توسعه‌یافته و الگوریتم ژنتیک، انجام دادند. در سال ۲۰۱۲، یانگ و همکارانش [10-12] از یک الگوریتم چندهدفه برای یافتن بهترین محل حسگرها در سامانه کنترل بهره بردند. هم‌چنین، هیل و درجی [12] با استفاده از این شیوه توانستند محل مناسب حسگر و عملگر را برای کمینه‌سازی نوسان‌های یک ورق طره‌ای تعیین کنند. عباسی و مرکزی [13]، در سال ۲۰۱۴، با بررسی اثر تعداد حسگر در بهبود رفتار لرزه‌ای سازه، روابطی را پیشنهاد نمودند. آنها با استفاده از روش عددی نیومارک-بتا و به‌کارگیری الگوریتم ژنتیک چندهدفه برای مکان‌یابی محل حسگر، نوسان‌های سازه را با روش کنترل خطی مرتبه دوم گوسی تحلیل کردند. در سال ۲۰۱۶، پژوهش‌هایی توسط ژای و همکاران [14,15] برای بهینه‌سازی مشخصات عملگرهای پیزوالکتریک متصل به سازه، با استفاده از الگوریتم ژنتیک انجام گرفت. آنان با بهره‌گیری از یک الگوریتم دو هدفه و رابطه‌سازی تابع هدف خطی مرتبه دو، توانستند مکان و مشخصات فیزیکی مناسب عملگرها را تعیین کنند.

در این پژوهش، یک فرایند نوین در الگوریتم ژنتیک برای یافتن نیروهای کنترلی مناسب در هر گام زمانی، پیشنهاد می‌شود. هدف این فرایند، کاهش جابه‌جایی‌های سازه می‌باشد. برای انجام این کار، نخست جابه‌جایی‌های گرهی سازه در هر گام زمانی، با حل معادله‌های تعادل دینامیکی به دست می‌آیند. سپس، با ارزیابی این جابه‌جایی‌ها و استفاده از تابع هزینه

معرفی می گردند [18]:

$$A = \begin{bmatrix} O & I \\ -M^{-1}.K & -M^{-1}.C \end{bmatrix}_{r_q \times r_q} \quad (4)$$

$$B = \begin{Bmatrix} O \\ M^{-1}.\lambda \end{Bmatrix}_{r_q \times q} \quad (5)$$

$$H = \begin{Bmatrix} O \\ -M^{-1}.\Gamma \end{Bmatrix}_{r_q \times q} \quad (6)$$

در رابطه‌های بالا، 0 ماتریس مربعی صفر و I ماتریس مربعی واحد می‌باشد. در روش LQR با کمینه-سازی تابع انرژی J در هر گام زمانی، بردار نیروی کنترلی u(t) محاسبه می‌گردد. تابع انرژی سازه به صورت زیر تعریف می‌شود:

$$J = \int_0^{\infty} (Z^T(t).Q.Z(t) + u^T(t).R.u(t)).dt \quad (7)$$

در این رابطه، مقدار Q و R نشانگر مقادیر وزنی هستند که بیانگر اهمیت متغیرهای حالت و نیروهای کنترل در فرایند کمینه‌سازی می‌باشند. هرچه مقدار بزرگ‌تری برای کمیت Q اختیار شود، به این معنی است که کاهش پاسخ سازه از اهمیت بیشتری برخوردار است و هرچه مقدار کمیت R بیشتر انتخاب شود، بیانگر آن است که بایستی میزان نیروهای کنترلی وارد شده به سازه توسط عملگرها کاهش یابند. بر این اساس پژوهشگران ماتریس‌های وزنی مختلفی را پیشنهاد نموده‌اند [19-21]. مینیمم‌سازی تابع انرژی منجر به معادله زیر می‌شود [20]:

$$u(t) = G(t).Z(t) = -\frac{1}{2} R^{-1} B^T P(t).Z(t) \quad (8)$$

در رابطه بالا P(t) ماتریس ریکاتی نامیده می‌شود که از حل معادله ریکاتی زیر به دست می‌آید:

$$[A]^T [P] + [P] [A] - [P] [B] [R]^{-1} [B]^T [P] + [Q] = 0 \quad (9)$$

پیشنهادی، نیروهای عملگرها با فرایند تخمین - تصحیح الگوریتم ژنتیک پیشنهادی کاهش می‌یابد. در پایان، این شیوه برای کنترل نوسان‌های ۳ نمونه عددی مورد استفاده قرار می‌گیرد و نتایج با روش LQR به عنوان روشی متداول در کنترل فعال سازه‌ها مقایسه می‌گردد [16].

### رابطه‌سازی معادله تعادل دینامیکی سازه در

#### روش سامانگر درجه‌دوی خطی (LQR)

معادله تعادل دینامیکی سازه q درجه آزادی را می‌توان به صورت زیر رابطه‌سازی کرد [17]:

$$[M]^i \{\ddot{D}\}^i + [C]^i \{\dot{D}\}^i + [K]^i \{D\}^i = -[M]^i \{\Gamma\}^i \ddot{X}_g(t)^i + \{\Lambda\}^i u(t)^i \quad (1)$$

در این رابطه  $[M]^i$ ،  $[C]^i$ ،  $[K]^i$ ،  $\{\Gamma\}^i$  و  $\{\Lambda\}^i$  به ترتیب معرف ماتریس‌های جرم، میرایی، سختی، بردار موقعیت نیروهای خارجی وارد شده به سازه و بردار موقعیت نیروی کنترلی اعمالی به سازه در گام زمانی iام هستند. چنانچه نیروهای زلزله و کنترلی به تمام طبقات سازه اعمال شوند، تمام درایه‌های بردار  $\{\Gamma\}^i$  و  $\{\Lambda\}^i$ ، برابر واحد خواهند بود. کمیت‌های  $\{D\}^i$ ،  $\{\dot{D}\}^i$  و  $\{\ddot{D}\}^i$  بردارهای جابه‌جایی، سرعت و شتاب گرهی می‌باشند. هم‌چنین  $\ddot{X}_g(t)^i$  و  $u(t)^i$  به ترتیب شتاب پایه و نیروی کنترلی تولید شده توسط عملگر متصل شده به سازه در گام زمانی iام هستند که پس از پایش سازه در هر گام زمانی، به سازه وارد می‌شوند. معادله (۱) برحسب متغیر حالت به صورت زیر بازنویسی می‌شود:

$$\dot{Z}(t) = AZ(t) + Bu(t) + H \ddot{X}_g(t) \quad (2)$$

در رابطه (۲)، Z(t) بردار حالت است که به صورت زیر تعریف می‌شود:

$$Z(t) = \begin{Bmatrix} x(t) \\ \dot{x}(t) \end{Bmatrix}_{r_q \times q} \quad (3)$$

هم‌چنین سایر ضرایب رابطه (۲)، به صورت زیر

$$[C]^{i+1} \left( \frac{\gamma}{\beta \Delta t} \{D\}^i + \left( \frac{\gamma}{\beta} - 1 \right) \{\dot{D}\}^i + \left( \frac{\gamma}{\beta} - 1 \right) \Delta t \{\ddot{D}\}^i \right)$$

گفتنی است روش نیومارک-بتا، یک شیوه ضمنی است. در این شیوه، برای به دست آوردن پاسخ در گام زمانی  $i+1$ ام، از معادله تعادل دینامیکی در همان گام استفاده می‌شود. برای این کار، سامانه دینامیکی به سامانه ایستای معادل تبدیل می‌شود، به گونه‌ای که تغییر مکان، سرعت و شتاب، به طور هم‌زمان در معادله‌های تعادل دینامیکی سازه صدق می‌کند.

### مبانی و رابطه‌سازی روش پیشنهادی

یافتن مقادارهای مناسب نیروهای کنترلی در هر لحظه، سبب کاهش جابه‌جایی سازه می‌گردد. هرچه الگوریتم جستجو، توانایی یافتن مقادارهای مناسب‌تری را برای نیروهای عملگر داشته باشد، جابه‌جایی سازه کمتر می‌شود. در روش پیشنهادی، به جای استفاده از رابطه (۷) برای یافتن نیروی عملگر، از شیوه جستجوی عددی الگوریتم ژنتیک استفاده می‌شود. الگوریتم ژنتیک یک شیوه جستجوی عددی فرگشتی است که با پایش سازه در هر گام زمانی، به یافتن مقادارهای بهینه نیروهای کنترلی، با استفاده از مفهوم تابع جریمه می‌پردازد. الگوریتم ژنتیک پس از تولید جمعیت اولیه شامل اعضای احتمالی پاسخ مسئله، که همان نیروهای کنترلی می‌باشند، با استفاده از الگوهای فرگشتی و صلاحیت‌سنجی، اعضای دارای صلاحیت بیشتر را به گونه‌ای تکامل می‌دهد که نیروهای مناسب‌تری به دست آید. الگوریتم ژنتیک شامل زیربخش‌هایی است که در ادامه ارائه می‌شوند.

### تابع هدف

برای دستیابی به کمترین تغییر مکان در درجه‌های آزادی دینامیکی سازه، لازم است با تعریف تابع هدف، که معرف

در فرایند کنترلی اخیر، الگوریتم جستجو در هر گام زمانی با محاسبه بردار حالت،  $u(t)$  را برحسب تغییر مکان و سرعت محاسبه می‌کند که این نیرو توسط عملگرهای متصل شده به سازه اعمال می‌شوند.

### روش نیومارک برای تحلیل دینامیکی سازه

در سال ۱۹۵۸، نیومارک [22] روشی برای تحلیل سامانه‌های دینامیکی معرفی کرد. در این روش با به‌کارگیری دنباله تیلور، تغییر مکان و سرعت در پایان هر گام زمانی برآورد می‌شود؛ سپس با استفاده از عامل‌های وزنی، حاصل انتگرال جمله پسماند در دنباله تیلور، به صورت رابطه‌های تقریبی زیر در نظر گرفته می‌شوند [23]:

$$\{D\}^{i+1} \approx \{D\}^i + \Delta t \{\dot{D}\}^i + \left( \frac{1}{\beta} - \beta \right) \Delta t^2 \{\ddot{D}\}^i + \beta \Delta t^2 \{\ddot{D}\}^{i+1} \quad (10)$$

$$\{\dot{D}\}^{i+1} \approx \{\dot{D}\}^i + (1-\gamma)\Delta t \{\ddot{D}\}^i + \gamma \Delta t \{\ddot{D}\}^{i+1} \quad (11)$$

در رابطه‌های بالا،  $\Delta t$  گام زمانی در هر گام تحلیل است. هم‌چنین،  $\beta$  و  $\gamma$  عامل‌های وزنی روش نیومارک-بتا می‌باشند. در این پژوهش از روش نیومارک-بتا با شتاب ثابت استفاده می‌شود و عامل‌های وزنی به ترتیب،  $\beta = \frac{1}{4}$  و  $\gamma = \frac{1}{4}$  می‌باشد. چنان‌چه، هدف تحلیل دینامیکی سازه، تعیین جابه‌جایی، سرعت و شتاب در گام‌های زمانی گوناگون باشد، باید دستگاه معادله‌های به‌دست‌آمده از رابطه‌های ۱، ۱۰ و ۱۱ حل گردد. از سوی دیگر، می‌توان این رابطه‌ها را به گونه‌ای بازنویسی کرد که بتوان جابه‌جایی سازه در هر گام زمانی را به صورت مستقیم حساب کرد. در نتیجه، رابطه (۱) به صورت زیر تبدیل می‌شود:

$$\left( [K]^{i+1} + \frac{[M]}{\beta \Delta t^2} + \frac{\gamma [C]}{\beta \Delta t} \right) \{D\}^{i+1} = \{P\}^{i+1} - \{F_0\}^i + [M] \left( \frac{1}{\beta \Delta t^2} \{D\}^i + \frac{1}{\beta \Delta t} \{\dot{D}\}^i + \left( \frac{1}{\beta} - 1 \right) \{\ddot{D}\}^i \right) + \quad (12)$$

می‌گردد. نحوه اضافه کردن این قیدها به تابع هدف، با شیوه‌های گوناگون امکان‌پذیر است. در این پژوهش، از روش تابع جریمه استفاده می‌شود. تابع جریمه به گونه‌ای عمل می‌کند که هرچه پاسخ‌های سازه کنترل‌شده با قیدها سازگاری کمتری داشته باشند، مقدار تابع هدف افزایش می‌یابد به گونه‌ای که آن نیروهای کنترلی توسط الگوریتم انتخاب نمی‌شوند. با افزودن تابع جریمه به تابع هدف، تابع هدف مقید به گونه‌ای به دست می‌آید که امکان بهره‌گیری از فرایند جستجوی مستقیم عددی برای یافتن نیروهای کنترلی، با استفاده از معادله تعادل دینامیکی سازه فراهم گردد. در نتیجه، الگوریتم جستجو تابع هدف مقید را کمینه می‌کند. معیارهای پیشنهادشده در این پژوهش، به صورت زیر می‌باشند:

$$1 \text{ معیار} = \sqrt{\sum_{n=1}^q (x_n - \bar{x})^2}, \quad \bar{x} = \frac{\sum_{n=1}^q (x_n)}{q} \quad (14)$$

$$2 \text{ معیار} = \sum_{n=1}^q \left( \max \left\{ \frac{|x_n|}{\Delta x} - 1, 0 \right\} \right) \quad (15)$$

$$3 \text{ معیار} = \sum_{n=1}^q \frac{1}{|x_n - x_n|} \quad (16)$$

در این رابطه‌ها،  $x_n$ ،  $\bar{x}$  و  $\Delta x$  به ترتیب، مقدار جابه‌جایی درجه آزادی  $n$ ام سازه در حالت کنترل‌نشده، انحراف معیار مقدارهای جابه‌جایی همه درجه‌های آزادی سازه در گام زمانی موردنظر و مقدار جابه‌جایی مجاز سازه می‌باشند. همان‌گونه که بیان شد، رابطه (۱۳) به گونه‌ای طراحی شده است که الگوریتم با کمینه کردن مجموع جابه‌جایی درجه‌های آزادی سازه، به بهترین نیروهای کنترلی دست یابد. باید دانست، دیگر عامل اثرگذار، تغییر مکان‌های نسبی سازه می‌باشند؛ زیرا ممکن است در شرایطی، معیار اول مناسب باشد (میانگین جابه‌جایی‌های طبقه‌ها پذیرفتنی است)؛ ولی، مقدار تغییر مکان نسبی دوطبقه‌ل مشخص زیاد شود. در نتیجه، معیار رابطه

نحوه عملکرد سامانه دینامیکی است، نیروی عملگر به گونه‌ای حساب شود که این تابع کمینه گردد. در این فرایند، نخست، عضوهای انتخابی توسط الگوریتم ژنتیک در معادله تعادل دینامیکی سازه قرار داده‌شده‌ها در تابع هدف و برازش داده‌ها، پاسخ سازه در اثر اعمال نیروی‌های کنترلی ارزیابی می‌شود. پس از آن، روند جستجوی تخمین - تصحیح به گونه‌ای ادامه می‌یابد که در هر تلاش، محاسباتی با انتخاب نیروهای جایگزین و تکرار این فرایند، مناسب‌ترین نیروها به گونه‌ای پیدا شوند که تابع هدف کمینه گردد. در این حالت، سازه در بهترین شرایط کنترلی قرار می‌گیرد. پس از آن، نیروهای مناسب توسط عملگر به سازه وارد می‌شوند و الگوریتم در گام زمانی بعد تکرار می‌گردد.

هدف الگوریتم ژنتیک یافتن نیروهای کنترلی است، به گونه‌ای که جابه‌جایی سازه به کمترین مقدار ممکن کاهش یابد. در نتیجه تابع هدف به گونه‌ای رابطه سازی می‌شود که دربرگیرنده جابه‌جایی‌های همه درجه‌های آزادی دینامیکی سازه باشد. هرچه مقدار عددی این تابع کاهش یابد، نیروهای انتخاب‌شده توسط الگوریتم جستجو، مناسب‌تر ارزیابی می‌شوند. در این پژوهش، تابع هدف برای سازه  $q$  درجه آزادی به صورت زیر معرفی می‌گردد:

$$C = \sum_{n=1}^q \sqrt{x_n^2} \quad (13)$$

در اینجا،  $x_n$  جابه‌جایی درجه آزادی  $n$ ام سازه کنترل‌شده می‌باشد. تابع هدف پیشنهادی (رابطه ۱۳)، با استفاده از معیارهای کنترلی، برای کاهش جابه‌جایی طبقات پیشنهاد گردیده است. باید دانست، پس از بررسی دیگر تابع‌های هدف، به مناسب‌ترین تابع دست‌یافته‌اند. در فرایند جستجوی الگوریتم ژنتیک، نیاز است محدودیت‌های طراحی در روند جستجو مورد توجه قرار گیرند. توجه به این محدودیت‌ها (قیدها) سبب عملکرد بهتر الگوریتم جستجو در یافتن نیروهای کنترلی مناسب

### تابع برازش و انتخاب

پس از رابطه‌سازی تابع هدف مقید، با بهره‌گیری از این تابع‌ها، داده‌های باصلاحیت بیشتر در هر گام انتخاب می‌شوند. برنامه رابانه‌ای تهیه شده به گونه‌ای عمل می‌کند که در هر گام زمانی  $i$ ام، به‌ازای تعداد مشخصی از عضوهای جمعیت نخستین، معادله تعادل دینامیکی با روش جستجوی عددی نیومارک-بتا، در بازه زمانی  $\Delta t$  ثانیه تحلیل می‌گردد. سپس، داده‌های خروجی برای هر یک از عضوهای جمعیت نخستین (والدین)، محاسبه می‌شوند. با استفاده از تابع برازش و انتخاب، تعداد مشخصی از عضوهای باصلاحیت بیشتر انتخاب می‌گردند و به گام زمانی  $i+1$ ام انتقال می‌یابند. همچنین، باتوجه به نیاز روش‌های جستجوی عددی به داده‌های گام پیشین، اطلاعات نهایی هر گام به‌عنوان شرایط نخستین گام بعدی ذخیره‌سازی می‌شوند و به گام بعد منتقل می‌گردند. برای مشخص شدن ابعاد جمعیت و تعداد عضوهای تولیدشده در هر گام، لازم است متغیرهای مربوط به عملگرهای ژنتیکی مشخص گردند [24] و [25].

### عملگرهای ژنتیکی

برای دستیابی به نیروهای کنترلی مناسب که شرایط توقف فرایند را برقرار کنند، لازم است با راه‌کاری نیروهای جدیدی تولید شوند و در تابع هدف مقید جای‌گذاری و ارزیابی گردند. برای انجام این کار، از دو عملگر ژنتیکی پیوند (ترکیب) و جهش برای تولید نیروهای جدید جمعیت استفاده می‌شود. درحقیقت، الگوریتم با بهره‌گیری از این عملگرها، به تولید نیروهای جدید و جستجو در فضای مسئله می‌پردازد. عملگر پیوند، با ترکیب خواص وراثتی دو عضو از جمعیت نخستین، عضوهای جدیدی تولید می‌کند. اگرچه عملگر پیوند، جستجوی مؤثری را در فضای طراحی دنبال می‌نماید و رشته‌های مناسب را تولید می‌کند، گاهی سبب از

(۱۴)، با محاسبه مقدار انحراف معیار بین داده‌ها، از هم‌گرا شدن پاسخ در این حالت جلوگیری می‌کند. از سوی دیگر، معیار پیشنهادی در رابطه (۱۵) نشانگر خطای پاسخ الگوریتم، نسبت به مقدار جابه‌جایی مجاز  $\Delta x$  است. معیار معرفی شده در رابطه (۱۶) نیز جابه‌جایی اصلاح شده در هر گام زمانی می‌باشد که توسط الگوریتم به‌دست آمده است. در نتیجه، با ترکیب معیارهای ۱۴، ۱۵، ۱۶ با رابطه (۱۳)، تابع هدف مقید پیشنهادی، به‌صورت زیر حاصل می‌شود:

$$\bar{C} = \sum_{n=1}^q \left[ \sqrt{x_n^T} + \alpha \sqrt{x_n^T \cdot (x_n - \bar{x})^T} + \beta \left( \sqrt{x_n^T} \cdot \max \left\{ \frac{|x_n|}{\Delta x} - 1, 0 \right\} \right) + \gamma \frac{\sqrt{x_n^T}}{|x_n - \bar{x}_n|} \right] \quad (17)$$

رابطه (۱۷)، برای برازش و صلاحیت‌سنجی عضوهای جستجوشونده در الگوریتم ژنتیک استفاده می‌شوند. در این رابطه مقدارهای  $\alpha$ ،  $\lambda$  و  $\mu$  ضریب‌های وزنی هستند که باتوجه به میزان اهمیت هر عامل تعیین می‌گردند. در این پژوهش، این مقادارها به ترتیب ۱/۱، ۱ و ۰/۲ در نظر گرفته شده‌اند. این مقادارها پس از مدل‌سازی‌های گوناگون، به‌صورت تجربی به‌دست آمده‌اند. باید افزود، در پژوهش‌های انجام شده به‌روش فرگشتی، معیارهایی برای انتخاب این ضریب‌های وزنی و دیگر عامل‌ها ارائه شده است که همه آنها نیز تجربی می‌باشند. در این پژوهش، نویسندگان از ضریب‌های به‌دست آمده از نتایج مدل‌سازی خود بهره گرفته‌اند. همچنین، از تابع جریمه به‌صورت جمع شونده استفاده شده است. شایان توجه است، برای جلوگیری از بروز خطا به دلیل منفی و مثبت بودن مقدارهای کمی تغییرمکان‌ها، رابطه معیار برازش به گونه‌ای تنظیم شده است که همه مقادارها مثبت گردند تا مقایسه آنها توسط برنامه الگوریتم تهیه شده به‌درستی انجام پذیرد.

در مرحله نخست، مجموعه‌ای از نیروهای مناسب احتمالی، توسط الگوریتم ژنتیک تولید می‌گردد. این جمعیت نخستین از نیروهای احتمالی، با استفاده از داده‌های موجود در مورد طرح‌های ممکن مسئله، تعیین می‌شوند. چنانچه اطلاعاتی از طرح‌های ممکن مسئله وجود نداشته باشد، این جمعیت به صورت تصادفی انتخاب می‌گردد. این نیروهای تولیدشده توسط الگوریتم، همان نیروهای کنترلی عملگر متصل شده به سازه میزبان، در لحظه نخست می‌باشند.

در مرحله دوم، نیروهای تولیدشده به‌عنوان جمعیت نخستین، در معادله‌های تعادل دینامیکی جای‌گذاری می‌شوند و مقدار جابه‌جایی در هر درجه آزادی دینامیکی از سازه به دست می‌آید. به‌کارگیری روش نیومارک- بتا و تبدیل معادله تعادل دینامیکی بر مبنای محاسبه مستقیم جابه‌جایی، سبب سرعت بخشیدن به روند محاسبه تغییر مکان در هر گام زمانی می‌گردد. پس‌از آن، با جای‌گذاری این مقادارها در تابع هدف مقید که با توجه به قیدها و محدودیت‌های موردانتظار مسئله رابطه‌سازی شده‌است، مقدار صلاحیت هر یک از نیروهای کنترلی برآورد می‌شود. چنانچه نیروهای کنترلی دارای بیشترین صلاحیت، شرایط مسئله را تحقق بخشند، الگوریتم این نیروها را به‌عنوان پاسخ نهایی در گام زمانی موردنظر ذخیره می‌کند. سپس، حل به مرحله نخست منتقل می‌شود و این فرایند برای گام زمانی بعدی ادامه می‌یابد. این روند تا پایان دوره زمانی انجام می‌شود. چنانچه نیروهای کنترلی دارای بیشترین صلاحیت، در شرایط پایان مسئله صدق نکنند، الگوریتم با بررسی و مرتب کردن نیروها برحسب مقدار صلاحیت متناظر، تعداد مشخصی از آنها را با استفاده از یک روش انتخابی از پیش تعریف‌شده، انتخاب می‌کند. شایان توجه است، در روش‌های عددی متکی بر سعی وخطا، توجه به اثر تأخیر زمانی در طول فرایند پایش بسیار ضروری است. در اینجا، برای اعمال اثر این تأخیر زمانی، با استفاده از زیربرنامه‌ای، میزان زمان سپری‌شده از آغاز ورود برنامه الگوریتم به حلقه

بین رفتن ویژگی‌های مفید رشته‌های ژنتیکی می‌شود. همچنین، این عملگر امکان دست‌یابی به ویژگی‌های جدیدی را که در اعضای والد وجود ندارد فراهم نمی‌کند؛ از این‌رو، بهره‌گیری از عملگر جهش برای دست‌یابی به عضوهایی با ویژگی‌های تصادفی جدید، لازم می‌باشد. عملگر جهش با تغییر در ساختار ژنتیکی اعضا، به تولید عضوهای جدید می‌پردازد [24].

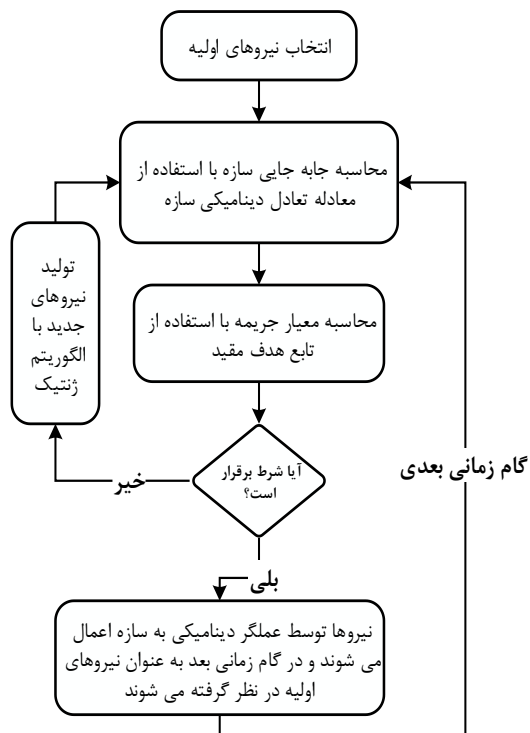
### مراحل الگوریتم ژنتیک در حل مسئله بهینه‌سازی

هسته الگوریتم ژنتیک استفاده‌شده در این پژوهش همانند دیگر مراجع است. در اینجا، تنها معیارهای تابع هزینه و نحوه برنامه‌نویسی بهبود یافته‌اند، به‌گونه‌ای که با در نظر گرفتن اثر تأخیر زمانی، یک شیوه کارآمد پیشنهاد گردید. شایان توجه است، بررسی‌های انجام‌شده توسط نویسندگان نشان می‌دهند، به دلیل مشکل تأخیر زمانی، تاکنون از الگوریتم ژنتیک در سامانه‌های کنترل واقعی استفاده نشده‌است. کاهش تأخیر زمانی یکی از دستاوردهای این پژوهش است که راه را برای استفاده از الگوریتم ژنتیک در سامانه‌های کنترل فعال هموار می‌سازد. باید دانست، رابطه‌سازی تابع هزینه، عامل‌های وزنی و شیوه مدل کردن آنها از دیگر نوآوری‌های این پژوهش می‌باشند.

از سوی دیگر، برای بررسی کارایی روش پیشنهادی، لازم است نتایج این شیوه با پاسخ‌های مناسب مقایسه شوند. با توجه به پژوهش‌های پیشین می‌توان دریافت روش LQR به‌عنوان یکی از شیوه‌های پایه‌ای در حل معادلات تعادل دینامیکی سازه در کنترل فعال سازه، توانسته‌است پاسخ‌های بسیار مناسبی را در کنترل فعال سازه‌های مختلف ارائه دهد. در نتیجه پاسخ‌های روش پیشنهادی با روش LQR مقایسه می‌شوند.

برای درک نحوه عملکرد الگوریتم ژنتیک در فرایند کنترل سازه، زیربخش‌های این شیوه ارائه می‌گردد:

در هر گام زمانی، به کمک عملگرهای دینامیکی متصل‌شده به سازه میزبان، تولید و به سازه اعمال می‌شوند. شکل (۱) ساختار کلی الگوریتم ژنتیک پیشنهادی را نشان می‌دهد.



شکل ۱. فلوجارت ساختار کلی برنامه تهیه شده

### نمونه‌های عددی

برای ارزیابی الگوریتم پیشنهادی، برنامه رایانه‌ای در نرم‌افزار متلب تهیه شده است. در ادامه، سه نمونه عددی ارائه می‌گردد. در نخستین مسئله، نوسان‌های سازه چهار درجه آزادی تحت اثر بار هارمونیک کنترل می‌شود. هم‌چنین، در نمونه دوم، به کنترل نوسان‌های سازه شش درجه آزادی دینامیکی تحت اثر شتاب پایه زلزله نورث‌ریچ در حوزه نزدیک (peer RSN:1086) پرداخته می‌شود. در مسئله سوم، سازه دوازده درجه آزادی تحت شتاب پایه زلزله کوبه در حوزه دور (peer RSN:1105) مورد ارزیابی قرار می‌گیرد.

جستجوی نیروهای کنترلی تا زمان خروج از آن (انتخاب نیروهای کنترلی مناسب در گام زمانی مورد نظر)، حساب می‌شود. در نتیجه، در گام زمانی بعد، مقدار نیروی اعمال‌شده از طرف تحریک خارجی، متناسب با زمان سپری‌شده توسط برنامه، خوانده می‌شود و به سازه اعمال می‌گردد. هم‌چنین، در هر گام زمانی، پس از یافتن نیروی کنترلی، شرایط تغییر مکان سازه با در نظر گرفتن میزان تأخیر زمانی گام پیشین (تأخیر زمانی گام پیشین بسیار نزدیک به تأخیر زمانی در گام مورد ارزیابی است)، تا لحظه پس از اعمال تأخیر با استفاده از رابطه (۱۲) به دست می‌آید و برای انتقال به گام بعد، ذخیره می‌گردد.

در مرحله سوم، با استفاده از عملگرهای ژنتیکی در نیروهای کنترلی انتخاب‌شده مرحله دوم، مجموعه جدیدی از نیروها تولید می‌شود. این مقادارها به نیروهای کنترلی تولید شده در مرحله دوم افزوده می‌گردد. باتوجه به ماهیت پیوسته متغیرهای طراحی در مسئله‌های پیش‌رو، در این پژوهش از اعداد در مبنای دسیمال و به صورت پیوسته در فضای جستجوی مسئله استفاده شده است.

در مرحله چهارم، پس از تعیین بهترین نیروهای کنترلی در گام زمانی مورد نظر، این مقدار به همراه داده‌های مربوط به جابه جایی در جه‌های آزادی و گام زمانی، ذخیره می‌گردند. هم‌چنین، باتوجه به نیاز روش عددی نیومارک-بتا به اطلاعات گام زمانی پیشین، داده‌های این گام به عنوان شرایط نخستین گام بعد ذخیره می‌شوند.

در مرحله پنجم، با تولید جمعیت جدید متناسب با فضای مسئله و نیز استفاده از نیروهای کنترلی حاصل از مرحله چهارم، الگوریتم جستجو تکرار می‌شود. سپس، نیروهایی که شرایط پایان مسئله را برقرار کنند به همراه داده‌های مربوط به جابه جایی در جه‌های آزادی و گام زمانی ذخیره می‌شوند. هم‌چنین، در هر مرحله، بهترین نیروهای به دست آمده به عنوان نیروهای کنترلی مناسب



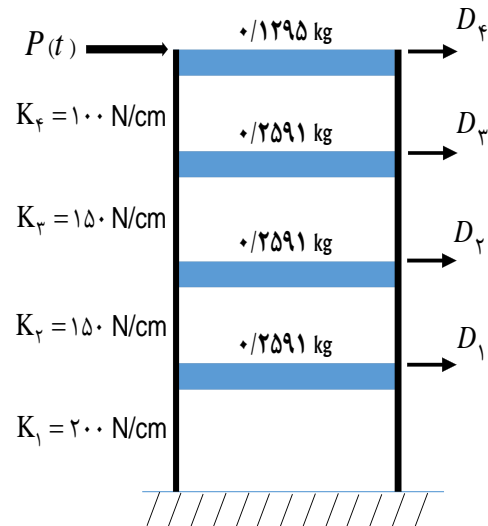
نیروهای کنترلی مناسب را در دسترس قرار دهد. این فرایند سبب ایجاد تأخیر زمانی می‌گردد. در اینجا، اثر تأخیر زمانی در هرگام از محاسبات بررسی شده و در پاسخ‌های به‌دست‌آمده وارد شده‌است. برای انجام این کار، اثر تأخیر زمانی در بارگذاری وارد می‌شود، به‌گونه‌ای که بار دینامیکی در گام زمانی بعدی به سازه اعمال می‌گردد (بارگذاری با تأخیر). باید دانست، برای دستیابی به مقدار تأخیر در هر گام زمانی، از زیربرنامه‌ای در الگوریتم رایانه‌ای استفاده می‌شود، به‌گونه‌ای که در هر حلقه از تلاش محاسباتی، مقدار زمان سپری‌شده محاسبه و ثبت می‌گردد. پس از یافتن نیروی کنترلی مناسب در گام زمانی موردنظر، گام زمانی بعدی برای جستجوی نیروهای کنترلی، از مجموع  $\Delta t$  و تأخیر زمانی ثبت‌شده به‌دست می‌آید. گفتنی است، فرایند کنترلی ارائه‌شده در این پژوهش مستقل از نوع ابزار اعمال نیروهای کنترلی به سازه است. در اینجا، می‌توان از عملگرهای پیزوالکتریک استفاده کرد؛ زیرا در این‌گونه ابزارها، تأخیر اعمال نیرو به سازه وجود ندارد (به‌دلیل ماهیت الکتریکی بودن آنها). در این سازه، میانگین تأخیر زمانی ثبت‌شده توسط برنامه الگوریتم ژنتیک در هرگام زمانی به‌طور میانگین برابر  $0/11$  ثانیه است. هم‌چنین، تعداد عضوهای جمعیت تولیدشده توسط الگوریتم، ۶ عضو و تعداد تلاش در هر گام زمانی، ۲۰ سعی می‌باشند. نسبت‌های اعمال عملگر پیوند و جهش بر روی عضوها نیز به‌ترتیب، برابر  $0/8$  و  $0/3$  می‌باشند. این نسبت‌ها باتوجه به نوع مسئله و با سعی وخطا انتخاب و تصحیح می‌گردند. دامنه انتخاب این نسبت‌ها به نوع مسئله وابسته است [26]. در مراجع، دامنه انتخاب نسبت‌های پیوند و جهش به‌صورت زیر تعریف پیشنهاد شده‌اند:

$$P_c = [0/6, 0/9] \quad (19)$$

$$P_M = \left[ \frac{1}{\text{population size}}, \frac{1}{\text{chromosome length}} \right] \quad (20)$$

### سازه برشی چهار درجه آزادی

مشخصات سازه برشی چهار درجه آزادی مطابق با شکل (۲) می‌باشد.



شکل ۲ سازه برشی چهار درجه آزادی دینامیکی

در سازه پیش‌رو، نسبت میرایی برای نخستین مود نوسان ۵٪ است و دیگر مودهای نوسان نامیرا می‌باشند. از الگوی میرایی ریلی با دو عامل نیز برای تعیین ماتریس میرایی سازه استفاده می‌شود [17]. هم‌چنین، بار هارمونیک وارد به این سازه به‌صورت زیر است:

$$P(t) = 50 \sin(1 \cdot t) \quad (18)$$

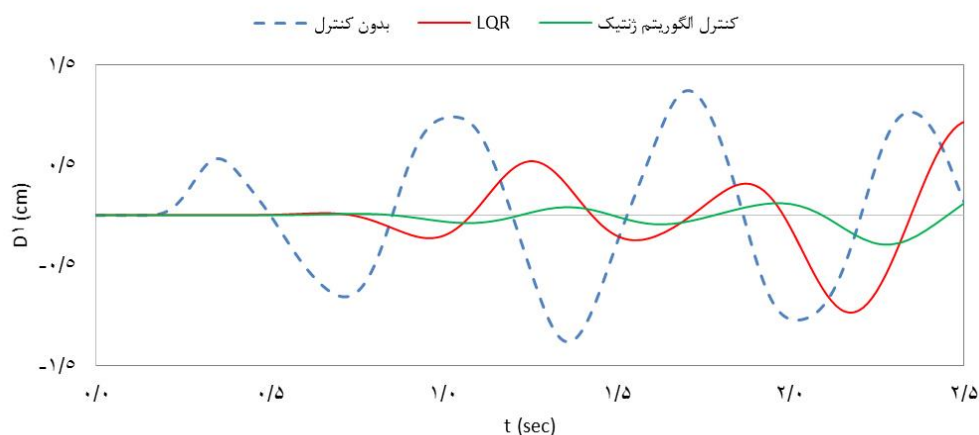
در این سازه تنها یک عملگر به چهارمین درجه آزادی سازه متصل می‌باشد. هم‌چنین به هر درجه آزادی یک حسگر متصل است. با بهره‌گیری از روش الگوریتم ژنتیک پیشنهادی، نوسان‌های سازه کنترل می‌شود و پاسخ‌ها با شیوه کنترلی LQR مقایسه می‌گردند. مقدار نیروی کنترلی یافت‌شده توسط الگوریتم، باتوجه به معادلات مودال و جابه‌جایی تمامی درجه‌های آزادی انتخاب می‌گردد. این الگوریتم در هرگام زمانی با تولید جمعیت‌های جدید و جستجو در فضای مسئله، می‌تواند

نسبت‌ها، اثر محسوسی در پاسخ‌ها ایجاد نمی‌کند.

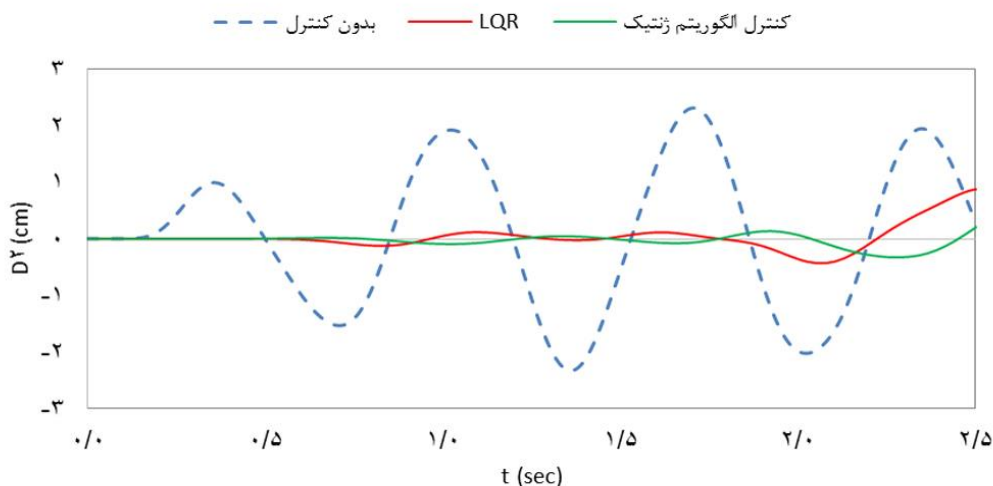
جدول ۱ بیشینه تغییر مکان‌های درجه‌های آزادی سازه چهار طبقه در روش‌های کنترل مختلف

حالت پایش	طبقه ۱	طبقه ۲	طبقه ۳	طبقه ۴
بدون کنترل	۱/۲۶	۲/۳۳	۳/۳۳	۳/۸۹
LQR	۱/۰۹	۱/۳۷	۱/۹۹	۱/۷۶
الگوریتم ژنتیک	۰/۴۷	۰/۳۷	۰/۶۲	۰/۲۳

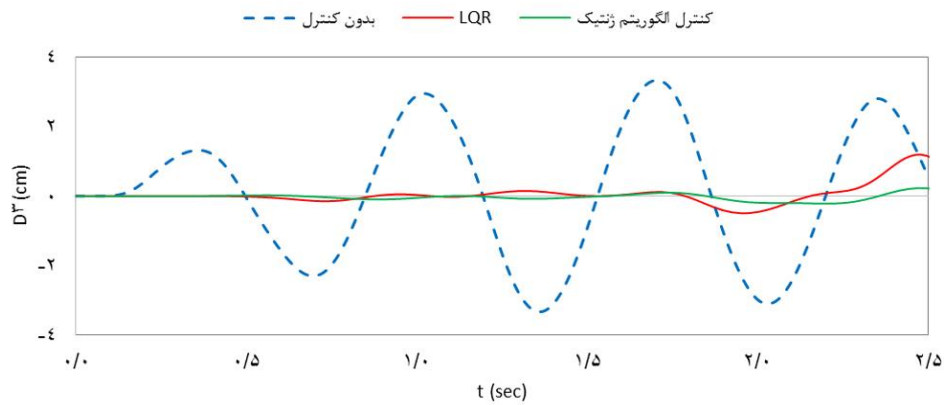
رابطه (۲۰)، دامنه انتخابی برای نسبت عملگر جهش بر روی عضوها را نشان می‌دهد که کران پایین آن برابر با حاصل تقسیم یک بر تعداد اعضای جمعیت و کران بالای آن برابر با حاصل یک تقسیم بر طول کروموزم (تعداد متغیر جستجو) می‌باشد. شایان توجه است، الگوریتم ژنتیک پیشنهادی در حل نمونه‌های عددی این پژوهش بسیار کارآمد می‌باشد؛ به گونه‌ای که تغییر در دامنه این



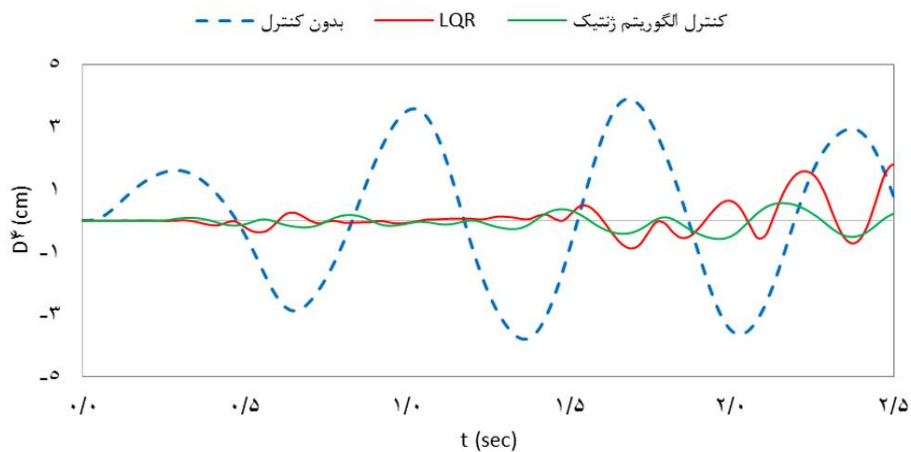
شکل ۳ تاریخچه زمانی جابه‌جایی نخستین درجه آزادی سازه چهار طبقه با الگوریتم ژنتیک پیشنهادی



شکل ۴ تاریخچه زمانی جابه‌جایی دومین درجه آزادی سازه چهار طبقه با الگوریتم ژنتیک پیشنهادی



شکل ۵ تاریخچه زمانی جابه‌جایی سومین درجه آزادی سازه چهارطبقه با الگوریتم ژنتیک پیشنهادی



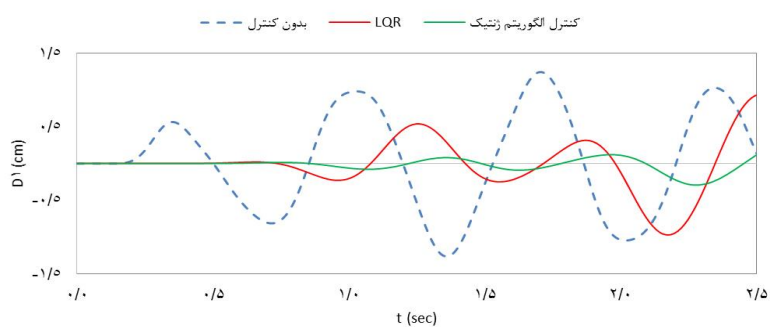
شکل ۶ تاریخچه زمانی جابه‌جایی چهارمین درجه آزادی سازه چهارطبقه با الگوریتم ژنتیک پیشنهادی

ژنتیک پیشنهادی برای کنترل نوسان‌های سازه می‌باشد. در جدول (۲) نیز مقدار بیشینه تغییر مکان‌های سازه چهار درجه آزادی در حالت اعمال بار در درجه آزادی سوم، با استفاده از روش LQR و الگوریتم ژنتیک پیشنهادی، ارائه شده است. با توجه به نمودارهای نشان داده شده، الگوریتم ژنتیک قادر خواهد بود تا با وجود یک عملگر در درجه آزادی چهارم، جابه‌جایی طبقات سازه ناشی از نیروی هارمونیک اعمالی به سایر طبقات را نیز در حد قابل قبول کنترل نماید.

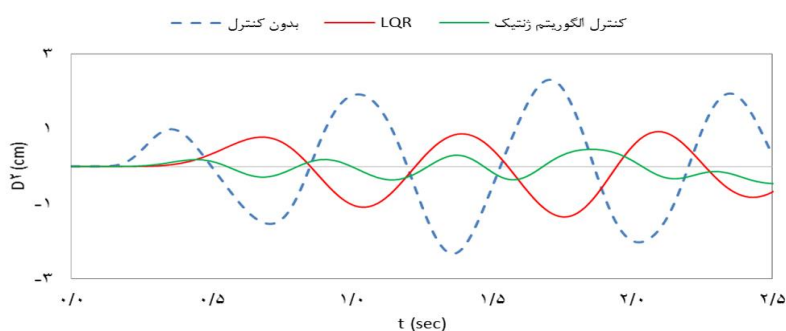
در شکل‌های (۳) تا (۶)، نمودارهای جابه‌جایی - زمان نخستین تا چهارمین درجه آزادی سازه چهارطبقه، در حالت‌های بدون سامانه کنترلی، سامانه کنترلی با روش LQR و همچنین الگوریتم ژنتیک پیشنهادی را نشان می‌دهد بر پایه این شکل‌ها می‌توان دریافت، کارایی الگوریتم ژنتیک پیشنهادی برای کنترل نوسان‌های سازه بیشتر از دیگر روش‌ها می‌باشد.

چنانچه محل اثر بارگذاری خارجی به درجه آزادی سوم انتقال یابد، نمودارهای جابه‌جایی - زمان به صورت زیر خواهد بود:

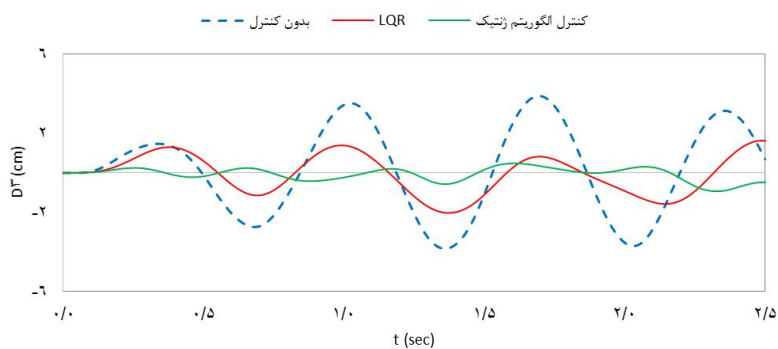
شکل‌های (۷) تا (۱۰) نشان‌دهنده توانایی الگوریتم



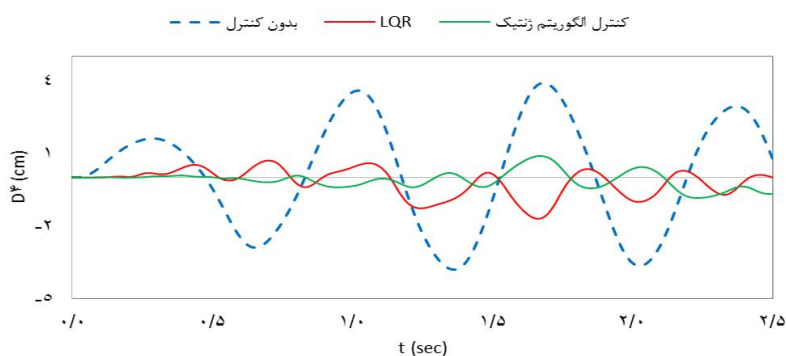
شکل ۷ تاریخچه زمانی جابه‌جایی نخستین درجه آزادی سازه چهارطبقه با اعمال بار هارمونیک به طبقه سوم



شکل ۸ تاریخچه زمانی جابه‌جایی دومین درجه آزادی سازه چهارطبقه با اعمال بار هارمونیک به طبقه سوم



شکل ۹ تاریخچه زمانی جابه‌جایی سومین درجه آزادی سازه چهارطبقه با اعمال بار هارمونیک به طبقه سوم



شکل ۱۰ تاریخچه زمانی جابه‌جایی چهارمین درجه آزادی سازه چهارطبقه با اعمال بار هارمونیک به طبقه سوم

جدول ۲ جدول مقایسه پیشینه تغییر مکان‌های سازه چهار درجه آزادی در حالت‌های مختلف پایش براساس الگوریتم‌های استفاده شده

حالت پایش	طبقه ۱	طبقه ۲	طبقه ۳	طبقه ۴
بدون کنترل	۱/۲۷	۲/۳۸	۳/۸۹	۳/۹۲
روش LQR	۱/۲۱	۱/۷۳	۲/۴۹	۱/۹۵
الگوریتم ژنتیک	۰/۴۲	۰/۶۲	۱/۱۸	۱/۰۵

### سازه برشی شش درجه آزادی دینامیکی

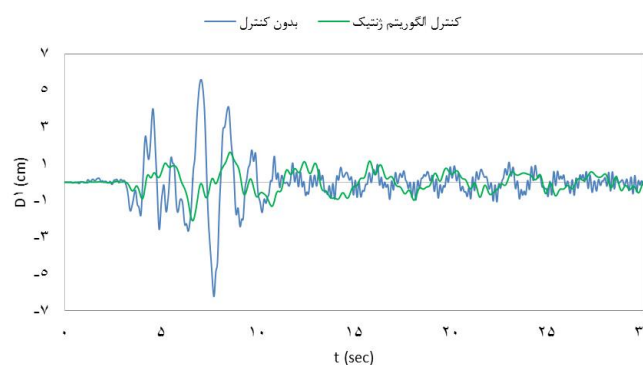
مشخصات ساختمان برشی با شش طبقه در جدول (۳) ارائه شده است.

جدول ۳ مشخصات جرم و سختی معادل سازه برشی شش درجه آزادی

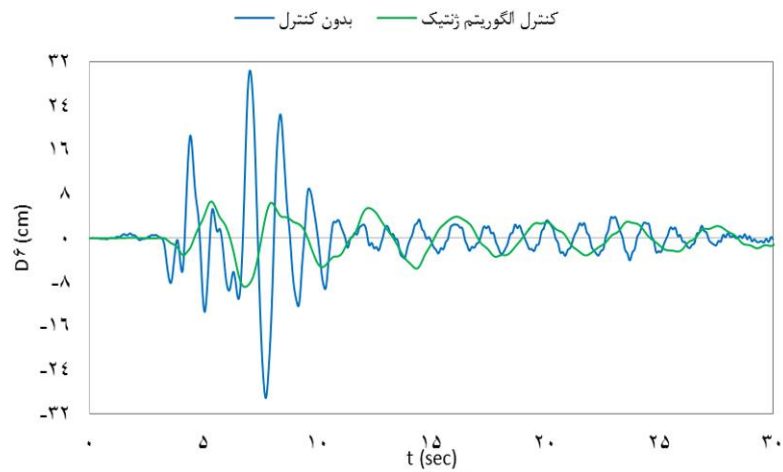
درجه آزادی دینامیکی	M (kg*10 <sup>5</sup> )	K (kg/cm)*10 <sup>8</sup>
۱	۲/۲۵	۲/۷۷۹
۲	۲/۲۵	۲/۷۷۹
۳	۲/۲۵	۲/۷۷۹
۴	۲/۲۵	۲/۴۳۱
۵	۲/۲۵	۱/۷۳۷
۶	۱/۵۸	۰/۶۹۴

در این سازه، نسبت میرایی برای سه مود نخست نوسان ۰/۵٪ پنداشته می‌شود و دیگر مودهای نوسان نامیرا می‌باشند. این سازه با شتاب پایه زلزله نورث‌ریج تحریک

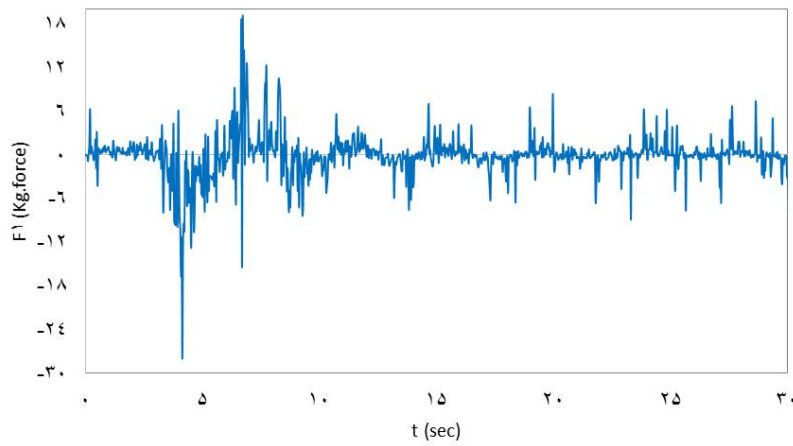
می‌شود. هم‌چنین، در هر درجه آزادی یک عملگر نصب می‌گردد ( شش عملگر در کل سازه). گام زمانی تحلیل برابر ۰/۰۱ ثانیه، تعداد عضوهای جمعیت تولیدشده توسط الگوریتم ژنتیک، ۶ عضو و تعداد تلاش در هر گام زمانی، ۲۰ بار فرض می‌گردد. نسبت عملگر پیوند و جهش بر روی اعضا به ترتیب، ۰/۸ و ۰/۳ می‌باشند. در این حالت، میانگین تأخیر زمانی محاسبه شده توسط الگوریتم ژنتیک پیشنهادی، در هر گام زمانی، ۰/۰۱۷ ثانیه می‌باشد. با استفاده از روش الگوریتم ژنتیک پیشنهادی، نوسان‌های سازه کنترل می‌شوند. نمودارهای جابه‌جایی - زمان درجه‌های آزادی نخستین و ششمین سازه، در حالت‌های بدون کنترل و استفاده از الگوریتم ژنتیک پیشنهادی، به ترتیب، در شکل‌های (۱۱) و (۱۲) رسم شده‌اند. برپایه این شکل‌ها می‌توان دریافت شیوه پیشنهادی توانایی مناسبی در کاهش نوسان‌های سازه دارد. هم‌چنین شکل‌های (۱۴) تا (۱۶)، به ترتیب، تغییرات نیروی عملگر نخست و ششمین درجه آزادی را در بازه زمانی کنترل نشان می‌دهند. روشن است، مقدر نیروی عملگر به اندازه‌ای کوچک است که می‌توان آن را با ابزار و شیوه‌های متداول به سازه اعمال کرد. ازسوی دیگر، مقدارهای پیشینه جابه‌جایی و نیروی عملگر برای همه درجه‌های آزادی در جدول (۴) درج شده است.



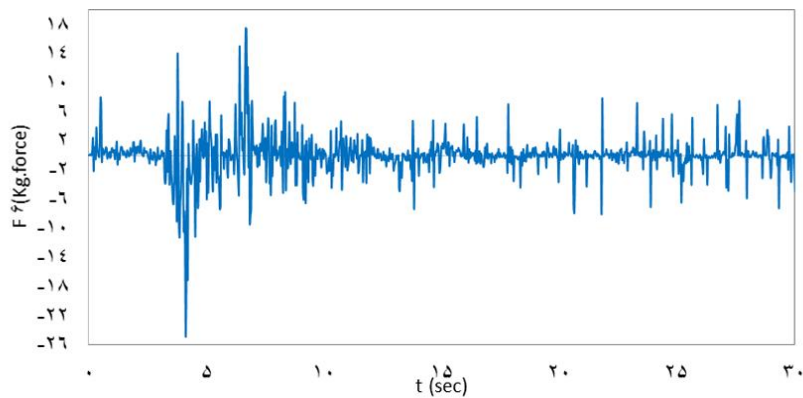
شکل ۱۱ تاریخچه زمانی جابه‌جایی نخستین درجه آزادی سازه شش طبقه



شکل ۱۲ تاریخچه زمانی جابه‌جایی ششمین درجه آزادی سازه شش طبقه



شکل ۱۳ تغییرات نیروی عملگر در نخستین درجه آزادی سازه شش طبقه با روش الگوریتم ژنتیک پیشنهادی



شکل ۱۴ تغییرات نیروی عملگر در ششمین درجه آزادی سازه شش طبقه با روش الگوریتم ژنتیک پیشنهادی

جدول ۴ بیشینه تغییر مکان‌ها و نیروی عملگرها در سازه شش طبقه

نیروی عملگر (Kg. force)	بیشینه جابه‌جایی در حالت کنترل با الگوریتم ژنتیک (cm)	بیشینه جابه‌جایی در حالت بدون کنترل (cm)	درجه آزادی دینامیکی
۲۸/۰	۱/۶۴	۶/۲۲	۱
۲۰/۱	۴/۰۲	۱۱/۵۱	۲
۱۸/۱	۴/۹۹	۱۶/۳۶	۳
۱۸/۶	۶/۳۲	۲۰/۸۴	۴
۲۳/۵	۷/۷۲	۲۵/۷۹	۵
۲۴/۹	۸/۸۵	۳۰/۴۷	۶

جمعیت تولید شده توسط الگوریتم، ۸ عضو و تعداد تلاش‌ها در هر گام زمانی، ۲۰ بار می‌باشد. همچنین، نسبت عملگر پیوند و جهش بر روی اعضا به ترتیب، ۰/۸ و ۰/۳ می‌باشند. در این حالت، میانگین تأخیر زمانی محاسبه شده توسط الگوریتم ژنتیک پیشنهادی، در هر گام زمانی، ۰/۰۲۶ ثانیه است. با استفاده از روش الگوریتم ژنتیک پیشنهادی، نمودارهای تغییر مکان- زمان نخستین و دوازدهمین درجه آزادی سازه، به ترتیب، در شکل‌های (۱۵) و (۱۶) نشان داده شده است. همچنین، شکل‌های (۱۷) و (۱۸) به ترتیب، تغییرات نیروهای عملگرهای نخستین و دوازدهمین طبقه را نشان می‌دهند. بیشینه تغییر مکان‌ها و نیروهای عملگرهای طبقه‌های مختلف نیز در جدول (۶) درج گردیده‌اند.

همان‌گونه که در شکل‌های (۱۵) و (۱۶) دیده می‌شود، استفاده از الگوریتم ژنتیک پیشنهادی کاهش چشم‌گیری در نوسان‌های سازه ایجاد می‌کند. در نتیجه، کارایی فرایند کنترل افزایش می‌یابد. از سوی دیگر، داده‌های جدول (۶) نشان می‌دهند، استفاده از چندین عملگر در سازه و تعیین آنها با الگوریتم ژنتیک پیشنهادی بیشینه تغییر مکان‌های سازه را می‌کاهد. همچنین، به کارگیری چندین عملگر سبب شده است، بیشینه نیروهای اعمالی توسط عملگرها نیز کاهش یابد. این موضوع کارایی روش پیشنهادی را افزایش می‌دهد؛ زیرا در حالت واقعی

### سازه برشی دوازده درجه آزادی دینامیکی

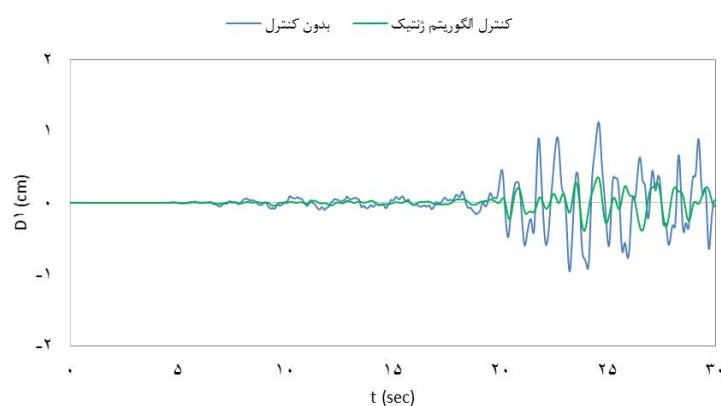
مشخصات یک ساختمان برشی دوازده طبقه در جدول (۵) ارائه شده است.

جدول ۵ مشخصات جرم و سختی معادل سازه برشی دوازده درجه آزادی

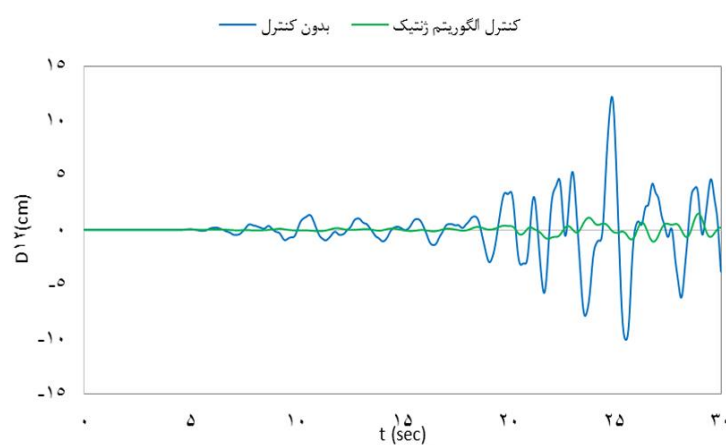
درجه آزادی دینامیکی	M (kg*10 <sup>5</sup> )	K (kg/cm)*10 <sup>8</sup>
۱	۲/۲۵	۲/۷۷۹
۲	۲/۲۵	۲/۷۷۹
۳	۲/۲۵	۲/۴۳۲
۴	۲/۲۵	۲/۴۳۲
۵	۲/۲۵	۲/۰۸۴
۶	۲/۲۵	۲/۰۸۴
۷	۲/۲۵	۲/۰۸۴
۸	۲/۲۵	۱/۰۴۲
۹	۲/۲۵	۱/۰۴۲
۱۰	۲/۲۵	۱/۰۴۲
۱۱	۲/۲۵	۰/۶۹۵
۱۲	۱/۵۸	۰/۳۴۷

در اینجا، نسبت میرایی برای سه مود نخست نوسان برابر ۰/۵٪ است و دیگر مودهای نوسان نامیرا می‌باشند. این سازه تحت اثر شتاب پایه زلزله کوبه قرار می‌گیرد و به هر درجه آزادی آن نیز یک عملگر متصل می‌شود. گام زمانی تحلیل دینامیکی ۰/۰۱ ثانیه، تعداد عضوهای

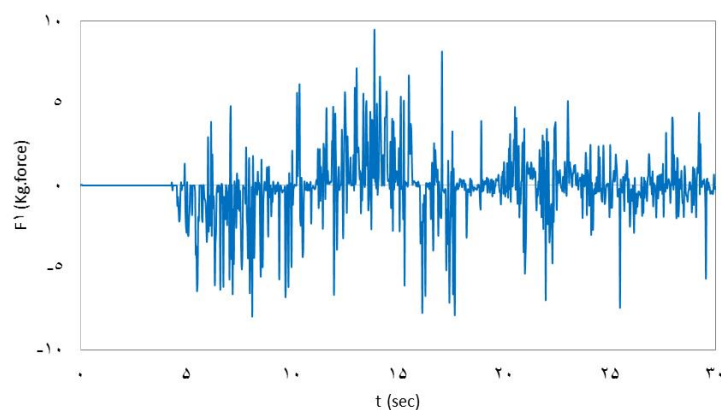
امکان ایجاد چنین نیروهایی وجود دارد. با کاهش تعداد توسط ابزارهای موجود دشوار می‌گردد. عملگرها، نیروی آنها نیز افزایش می‌یابد و ایجاد آنها



شکل ۱۵ تاریخچه زمانی جابه‌جایی نخستین درجه آزادی سازه دوازده طبقه

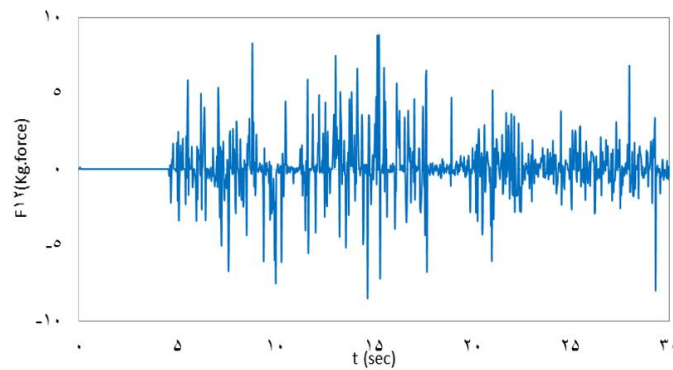


شکل ۱۶ تاریخچه زمانی جابه‌جایی دوازدهمین درجه آزادی سازه دوازده طبقه



شکل ۱۷ تغییرات نیروی عملگر در نخستین درجه آزادی سازه دوازده طبقه با روش الگوریتم ژنتیک پیشنهادی





شکل ۱۸. تغییرات نیروی عملگر در دوازدهمین درجه آزادی سازه دوازده طبقه با روش الگوریتم ژنتیک پیشنهادی

جدول ۶. جدول مقایسه نیرو و بیشینه تغییر مکان‌های سازه دوازده درجه آزادی در حالت کنترل یافته با الگوریتم ژنتیک و بدون کنترل

نیروی عملگر (Kg. force)	بیشینه جابه‌جایی در حالت کنترل با الگوریتم ژنتیک (cm)	بیشینه جابه‌جایی در حالت بدون کنترل (cm)	درجه آزادی دینامیکی
۹/۴۷	۰/۵۸	۱/۱۳	۱
۹/۰۸	۰/۹۱	۲/۲۱	۲
۹/۲۴	۰/۷۵	۳/۱۸	۳
۹/۶۸	۰/۶۹	۴/۳۰	۴
۸/۹۶	۰/۷۸	۵/۰۳	۵
۸/۹۶	۰/۹۲	۶/۲۷	۶
۹/۸۲	۰/۹۵	۶/۶۷	۷
۹/۰۵	۱/۱۶	۷/۰۳	۸
۸/۵۳	۱/۱۶	۷/۷۲	۹
۹/۹۳	۰/۹۹	۸/۹۶	۱۰
۸/۴۸	۰/۸۳	۱۲/۲۳	۱۱
۸/۸۱	۱/۴۸	۱۲/۸۱	۱۲

پیزوالکتریک تعیین می‌گردد. در شتاب‌نگارهای پیزوالکتریک، متناسب با تنش ایجاد شده در ساختار میکروسکوپی بلوره‌ها ناشی از نیروهای اینرسی، ولتاژی تولید خواهد شد و مبنایی برای اندازه‌گیری شتاب می‌باشد. فرایند مشابهی در عملگرهای پیزوالکتریک انجام می‌شود و نیرو تولید می‌شود. از سوی دیگر، با افزایش تعداد عملگرها، نیروی آنها کاهش می‌یابد. در نتیجه، می‌توان این شیوه را در سازه‌های واقعی به راحتی اجرا کرد.

باید دانست، هدف از این پژوهش معرفی یک شیوه کنترل فعال جدید بر مبنای الگوریتم ژنتیک می‌باشد که در آن تأخیر زمانی کاهش می‌یابد. این فرایند مستقل از شیوه پیاده‌سازی عملی این الگوریتم بر روی سازه میزبان می‌باشد. با وجود این، روش‌های کنترل فعال را می‌توان با استفاده از عملگرها و حسگرهای پیزوالکتریک در سازه‌ها اجرا کرد. حسگرهای پیزوالکتریک و وسایلی هستند که در آنها شتاب حرکت با استفاده از ویژگی‌های

### نتیجه‌گیری

نمونه‌تحلیل برر سی شد. در دامه، از سه نمونه عددی برای برر سی کارایی الگوریتم ژنتیک پیشنهادی استفاده گردید. نتایج نشان می‌دهند روش کنترل فعال ارائه شده توانسته‌است کاهش چشم‌گیری در دامنه نوسان‌های سازه ایجاد کند. افزایش کارایی و بهبود عملکرد الگوریتم ژنتیک پیشنهادی به دو دلیل می‌باشد. نخست این که در اینجا یک تابع هدف مقید نوین ارائه گردید. از سوی دیگر، تأخیر زمانی در فرایند الگوریتم ژنتیک کاهش یافت. این دو موضوع سبب شد، روش پیشنهادی کارایی مناسبی در کنترل فعال نوسان‌های نمونه‌های عددی داشته باشد.

در این پژوهش، یک شیوه نوین برای پایش فعال نوسان‌های سازه ارائه گردید. شیوه کنترل پیشنهادی از روش جستجوی عددی الگوریتم ژنتیک برای یافتن مقدارهای بهینه نیروهای کنترلی عملگرها استفاده می‌کند. در اینجا، با جستجوی مستقیم جابه‌جایی در معادله تعادل دینامیکی سازه و ارزیابی داده‌ها با معیار تابع هدف مقید، نیروهای کنترلی به‌گونه‌ای پیدا شدند، که پاسخ سازه کمینه شود. با توجه به ماهیت تخمین-تصحیح این روش، اثر تأخیر زمانی پدیدآمده در هر

### مراجع

1. Tzou, H., Lee, H.-J. and Arnold, S., "Smart Materials, Precision Sensors/actuators, Smart Structures, and Structronic Systems", *Mechanics of Advanced Materials and Structures*, Vol. 11, Pp. 367-393, (2004).
2. Yao, J. T., "Concept of Structural Control", *Journal of the Structural Division*, Vol. 98, Pp. 1567-1574, (1972).
3. Yang, J. N., "Instantaneous Optimal Control for Linear, Nonlinear and Hysteretic Structures-stable Controllers", (1991).
4. Jabbari, F., Schmitendorf, W., and Yang, J., "H $\infty$  Control for Seismic-excited Buildings with Acceleration Feedback", *Journal of Engineering Mechanics*, Vol. 121, Pp. 994-1002, (1995).
5. Yang, J. and Soh, C. K., "Structural Optimization by Genetic Algorithms with Tournament Selection", *Journal of Computing in Civil Engineering*, Vol. 11, Pp. 195-200, (1997).
6. Holland, J. H., "Outline for a Logical Theory of Adaptive Systems", *Journal of the ACM (JACM)*, Vol. 9, Pp. 297-314, (1962).
7. Zesley Publishing Company, Reading, MA, Vol. 1, P. 9, (1989).
8. Houck, C. R., Joines, J. and Kay, M. G., "A Genetic Algorithm for Function Optimization: A Matlab Implementation", NCSU-IE TR, Vol. 95, (1995).
9. Safizadeh, M. R. and Darus, I. Z., "Optimal Location of Sensor for Active Vibration Control of Flexible Square Plate", in *Information Sciences Signal Processing and their Applications (ISSPA), 10<sup>th</sup> International Conference on*, Pp. 393-396, (2010).
10. Cha, Y.-J., Agrawal, A. K., Kim, Y. and Raich, A. M., "Multi-objective Genetic Algorithms for Cost-effective Distributions of Actuators and Sensors in Large Structures", *Expert Systems with Applications*, Vol. 39, Pp. 7822-7833, (2012).
11. Cha, Y. J., Raich, A., Barroso, L. and Agrawal, A., "Optimal Placement of Active Control Devices and

- Sensors in Frame Structures Using Multi-Objective Genetic Algorithms", *Structural Control and Health Monitoring*, Vol. 20, Pp. 16-44, (2013).
12. Hale, J. and Daraji, A., "Optimal Placement of Sensors and Actuators for Active Vibration Reduction of a Flexible Structure Using a Genetic Algorithm Based on Modified Hinfinitiy", *Journal of Physics: Conference Series*, P. 012036, (2012).
  13. Abbasi, M. and Markazi, A., "Optimal Assignment of Seismic Vibration Control Actuators Using Genetic Algorithm", *International Journal of Civil Engineering*, Pp. 24-31, (2014).
  14. Zhai, J., Zhao, G. and Shang, L., "Integrated Design Optimization of Structure and Vibration Control with Piezoelectric Curved Shell Actuators", *Journal of Intelligent Material Systems and Structures*, P. 1045389X16641203, (2016).
  15. Zhu, K., Gu, C., Qiu, J., Liu, W., Fang, C. and Li, B., "Determining the Optimal Placement of Sensors on a Concrete Arch Dam Using a Quantum Genetic Algorithm", *Journal of Sensors*, Vol. 2016, (2016).
  16. Kumar, M. S. and Vijayarangan, S., "Design of LQR Controller for Active Suspension System", (2006).
  17. Clough, R. and Penzien, J., "Dynamics of Structures", McGraw Hill, New York, (1993).
  18. Miyamoto, K., Sato, D. and She, J., "A New Performance Index of LQR for Combination of Passive Base Isolation and Active Structural Control", *Engineering Structures*, Vol. 157, Pp. 280-299, (2018).
  19. Elumalai, V. K. and Subramanian, R. G., "A New Algebraic LQR Weight Selection Algorithm for Tracking Control of 2 DoF Torsion System", *Archives of Electrical Engineering*, Vol. 66, Pp. 55-75, (2017).
  20. Oliveira, F., Morais, P. and Suleman, A., "A Comparative Study of Semi-active Control Strategies for Base Isolated Buildings", *Earthquake Engineering and Engineering Vibration*, Vol. 14, Pp. 487-502, (2015).
  21. Tairidis, G., Foutsitzi, G. and Stavroulakis, G. E., "A Multi-layer Piezocomposite Model and Application on Controlled Smart Structures", *Advances in Mechanics of Materials and Structural Analysis*, ed: Springer, Pp. 3.65-385, (2018).
  22. Newmark, N. M., "A Method of Computation for Structural Dynamics", *Journal of the engineering mechanics division*, Vol. 85, Pp. 67-94, (1959).
  23. Goudreau G. L., and Taylor, R. L., "Evaluation of Numerical Integration Methods in Elastodynamics", *Computer Methods in Applied Mechanics and Engineering*, Vol. 2, Pp. 69-97, (1973).
  24. Holland, J., "Book: Adaptation in Natural and Artificial Systems: An Introductory Analysis with Applications to Biology", *Control, and Artificial Intelligence*, (1975).
  25. Forrest, S., "Genetic Algorithms- Principles of Natural Selection Applied to Computation", *Science*, Vol. 261, Pp. 872-878, (1993).
  26. Lobo, F., Lima, C. F. and Michalewicz, Z., *Parameter Setting in Evolutionary Algorithms*, Vol. 54: Springer Science & Business Media, (2007)

